



PDSA : accélération synthétique par la diffusion par morceaux pour la neutronique

Workshop MaNu
“Mathématiques pour la neutronique”
7 décembre 2018

François Févotte*,
M. Salli*,†, L. Plagne*,
M. Faverge†, P. Ramet†

* EDF R&D, PERICLES I23
† Inria Bordeaux, LaBRI



Contexte

- ▶ Solveurs EDF (plate-forme Cocagne, en 2013)

Solveur	Modèle Méthode	Discrétisation spatiale	Parallélisation
Diabolo	SP_N	EF RT_k maillage cartésien	vectorisation (Eigen) mémoire partagée (tbb)
Domino	S_N	Diamant DD_0 maillage cartésien	vectorisation (Eigen) mémoire partagée (tbb) mémoire distribuée ? ? ?

- ▶ Thèse Moustafa Salli
 - ▶ parallélisation de Domino en mémoire distribuée

Contexte

► Solveurs EDF (plate-forme Cocagne, en 2016)

Solveur	Modèle Méthode	Discrétisation spatiale	Parallélisation
Diabolo	SP_N	EF RT_k maillage cartésien	vectorisation (Eigen) mémoire partagée (tbb)
Domino	S_N $SI + DSA$	Diamant DD_0 maillage cartésien	vectorisation (Eigen) mémoire partagée mémoire distribuée } (PaRSEC)

► Thèse Moustafa Salli

- parallélisation de Domino en mémoire distribuée
- **impact sur Diabolo ?**

Transport neutronique

$\forall \vec{\Omega} \in S^2, \forall \vec{r} \in \mathcal{D} \subset \mathbb{R}^2,$

$$\vec{\Omega} \cdot \vec{\nabla} \psi(\vec{r}, \vec{\Omega}) + \Sigma(\vec{r}) \psi(\vec{r}, \vec{\Omega}) = \frac{\Sigma_s(\vec{r})}{4\pi} \int_{S^2} d^2\Omega' \psi(\vec{r}, \vec{\Omega}') + Q(\vec{r}).$$

Transport neutronique

Itération sur les sources

$\forall \vec{\Omega} \in S^2, \forall \vec{r} \in \mathcal{D} \subset \mathbb{R}^2,$

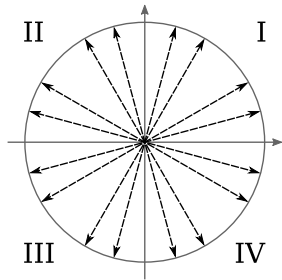
$$\vec{\Omega} \cdot \vec{\nabla} \psi_{\ell+1}(\vec{r}, \vec{\Omega}) + \Sigma(\vec{r}) \psi_{\ell+1}(\vec{r}, \vec{\Omega}) = \frac{\Sigma_s(\vec{r})}{4 \pi} \int_{S^2} d^2 \Omega' \psi_\ell(\vec{r}, \vec{\Omega}') + Q(\vec{r}).$$

Transport neutronique

Itération sur les sources, ordonnées discrètes

$\forall k \in [1 \dots N_k], \forall \vec{r} \in \mathcal{D} \subset \mathbb{R}^2,$

$$\vec{\Omega}_k \cdot \vec{\nabla} \psi_{\ell+1}(\vec{r}, \vec{\Omega}_k) + \Sigma(\vec{r}) \psi_{\ell+1}(\vec{r}, \vec{\Omega}_k) = \frac{\Sigma_s(\vec{r})}{4\pi} \sum_{k'=1}^{N_k} w_{k'} \psi_\ell(\vec{r}, \vec{\Omega}_{k'}) + Q(\vec{r}).$$

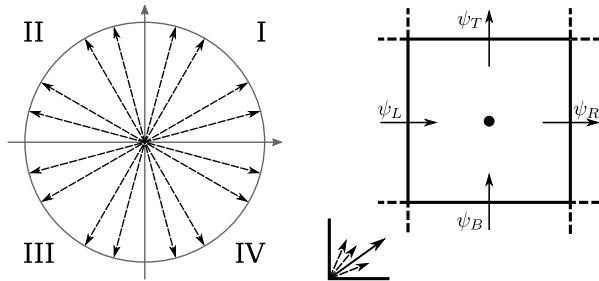


Transport neutronique

Itération sur les sources, ordonnées discrètes, schéma diamant

$\forall k \in [1 \dots N_k], \forall \vec{r} \in \mathcal{D} \subset \mathbb{R}^2,$

$$\vec{\Omega}_k \cdot \vec{\nabla} \psi_{\ell+1}(\vec{r}, \vec{\Omega}_k) + \Sigma(\vec{r}) \psi_{\ell+1}(\vec{r}, \vec{\Omega}_k) = \frac{\Sigma_s(\vec{r})}{4\pi} \sum_{k'=1}^{N_k} w_{k'} \psi_\ell(\vec{r}, \vec{\Omega}_{k'}) + Q(\vec{r}).$$

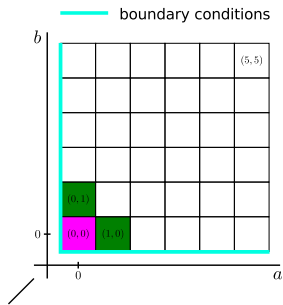
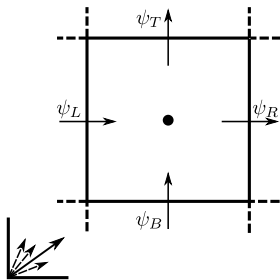
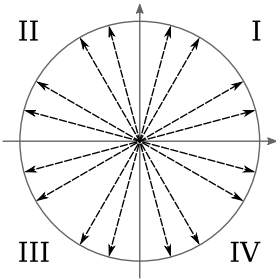


Transport neutronique

Itération sur les sources, ordonnées discrètes, schéma diamant, balayage

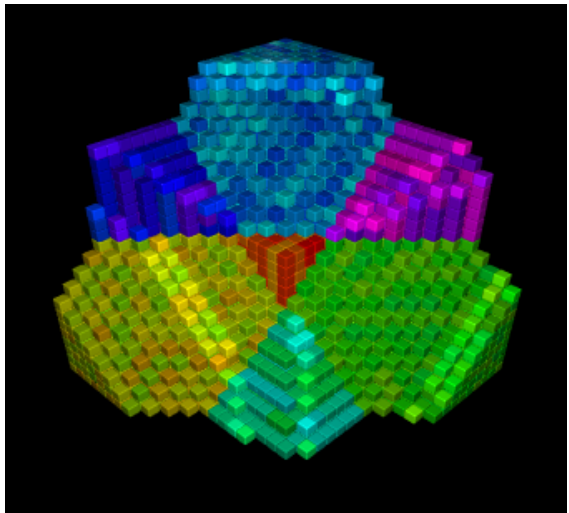
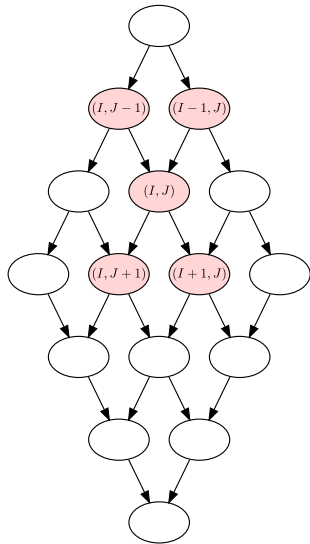
$\forall k \in [1 \dots N_k], \forall \vec{r} \in \mathcal{D} \subset \mathbb{R}^2,$

$$\vec{\Omega}_k \cdot \vec{\nabla} \psi_{\ell+1}(\vec{r}, \vec{\Omega}_k) + \Sigma(\vec{r}) \psi_{\ell+1}(\vec{r}, \vec{\Omega}_k) = \frac{\Sigma_s(\vec{r})}{4\pi} \sum_{k'=1}^{N_k} w_{k'} \psi_\ell(\vec{r}, \vec{\Omega}_{k'}) + Q(\vec{r}).$$



Solveur Domino

Expression du parallélisme – Run-times (ex : PaRSEC / StarPU)





Analyse classique

- ▶ Itération sur les sources
- ▶ Accélération synthétique par la diffusion (DSA)

Transport neutronique (S_N)

Équations fondamentales + résolution

► Simplification 1D (géométrie “slab”) :

$$\forall \mu \in [-1, 1], \forall x \in \mathcal{D},$$

$$\mu \frac{\partial \psi}{\partial x}(x, \mu) + \Sigma \psi(x, \mu) = \frac{\Sigma_s}{2} \int_{-1}^1 \psi(x, \mu') d\mu' + Q(x).$$

Transport neutronique (S_N)

Équations fondamentales + résolution

- ▶ Simplification 1D (géométrie “slab”) :

$$\forall \mu \in [-1, 1], \forall x \in \mathcal{D},$$

$$\mu \frac{\partial \psi}{\partial x}(x, \mu) + \Sigma \psi(x, \mu) = \frac{\Sigma_s}{2} \int_{-1}^1 \psi(x, \mu') d\mu' + Q(x).$$

- ▶ Itération sur les sources (SI, “*source iterations*”) :
explicitation second membre + itération :

$$\forall \mu \in [-1, 1], \forall x \in \mathcal{D},$$

$$\mu \frac{\partial \psi_{\ell+1}}{\partial x}(x, \mu) + \Sigma \psi_{\ell+1}(x, \mu) = \frac{\Sigma_s}{2} \int_{-1}^1 \psi_\ell(x, \mu') d\mu' + Q(x).$$

Itération sur les sources

Vitesse de convergence

► Notation : flux scalaire

$$\phi_\ell(x) = \frac{1}{2} \int_{-1}^1 \psi_\ell(x, \mu') d\mu' \quad \phi_\ell = S\psi_\ell$$

$$\mu \frac{\partial \psi_{\ell+1}}{\partial x}(x, \mu) + \Sigma \psi_{\ell+1}(x, \mu) = \Sigma_s \phi_\ell(x) + Q(x) \quad L \psi_{\ell+1} = \Sigma_s \phi_\ell + Q$$

Itération sur les sources

Vitesse de convergence

Notation : flux scalaire

$$\phi_\ell(x) = \frac{1}{2} \int_{-1}^1 \psi_\ell(x, \mu') d\mu' \quad \phi_\ell = S\psi_\ell$$

$$\mu \frac{\partial \psi_{\ell+1}}{\partial x}(x, \mu) + \Sigma \psi_{\ell+1}(x, \mu) = \Sigma_s \phi_\ell(x) + Q(x) \quad L \psi_{\ell+1} = \Sigma_s \phi_\ell + Q$$

Convergence des itérations sur les sources :

$$\phi_{\ell+1} = S L^{-1} \Sigma_s \phi_\ell + S L^{-1} Q.$$

- Vitesse de convergence donnée par $\rho(S L^{-1} \Sigma_s)$

Vitesse de convergence

Source Iterations

- ▶ Analyse de Fourier, problème 1D, conditions aux limites périodiques :
 $(Q = 0, \quad c = \Sigma_s / \Sigma < 1, \quad x \in [0, L], \quad \mu \in [-1, 1])$

$$\begin{cases} \mu \frac{\partial \psi_{\ell+1}}{\partial x}(x, \mu) + \Sigma \psi_{\ell+1}(x, \mu) = c \Sigma \phi_\ell(x), \\ \psi_{\ell+1}(0, \mu) = \psi_{\ell+1}(0, -\mu), \\ \psi_{\ell+1}(L, \mu) = \psi_{\ell+1}(L, -\mu). \end{cases}$$

- ▶ Itérée initiale :

$$\phi_0(x) = \cos\left(\frac{\pi k x}{L}\right),$$

$$\phi_\ell \xrightarrow[\ell \rightarrow \infty]{} 0$$

Vitesse de convergence

Source Iterations

- ▶ Calculs (complètement analytiques) ...

$$\psi_1 = \dots,$$

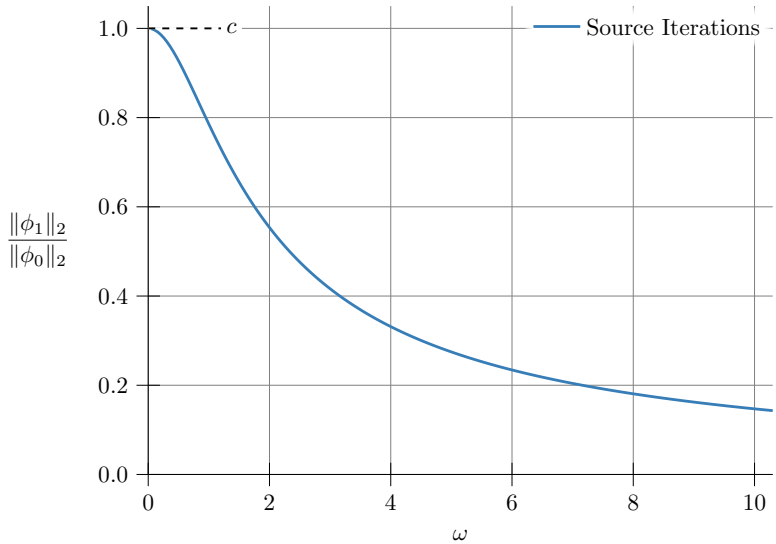
$$\begin{aligned}\phi_{\text{si}}(x) &= \frac{1}{2} \int_{-1}^1 \psi_1(x, \mu) d\mu \\ &= \rho_{\text{si}}(\omega) \phi_0(x),\end{aligned}$$

$$\omega = \frac{\pi k}{\Sigma L}$$

$$\rho_{\text{si}}(\omega) = \frac{c \arctan \omega}{\omega}.$$

Vitesse de convergence

Source Iterations



Diffusion Synthetic Acceleration

Principe

- ▶ Correction du flux :

$$\phi_{\text{dsa}} = \phi_{\text{si}} + S\varepsilon$$

- ▶ Erreur : $\varepsilon = \psi - \psi_{\text{si}}$

$$\begin{cases} \mu \frac{\partial \varepsilon}{\partial x}(x, \mu) + \Sigma \varepsilon(x, \mu) = c \Sigma [\phi_{\text{si}}(x) - \phi_0(x)], \forall \mu, \forall x \\ \varepsilon(0, \mu) = \varepsilon(0, -\mu), \\ \varepsilon(L, \mu) = \varepsilon(L, -\mu), \end{cases}$$

Diffusion Synthetic Acceleration

Principe

- ▶ Correction du flux :

$$\phi_{\text{dsa}} = \phi_{\text{si}} + f$$

- ▶ Approximation de la diffusion : $f \simeq S\varepsilon$

$$\begin{cases} \frac{-1}{3\Sigma} f''(x) + (1 - c) \Sigma f(x) = c \Sigma [\phi_{\text{si}}(x) - \phi_0(x)], \forall x \\ f'(0) = 0, \\ f'(L) = 0. \end{cases}$$

Diffusion Synthetic Acceleration

Principe

- ▶ Correction du flux :

$$\phi_{\text{dsa}} = \phi_{\text{si}} + f$$

- ▶ Approximation de la diffusion : $f \simeq S\varepsilon$

$$\begin{cases} \frac{-1}{3\Sigma} f''(x) + (1 - c) \Sigma f(x) = c \Sigma [\phi_{\text{si}}(x) - \phi_0(x)], \forall x \\ f'(0) = 0, \\ f'(L) = 0. \end{cases}$$

Lien entre solveurs de Cocagne

- ▶ Le problème de DSA de Domino est résolu par le solveur Diabolo (SP_N)
- ▶ Pas besoin de développer un solveur supplémentaire

Vitesse de convergence

Diffusion Synthetic Acceleration

- ▶ Calculs (complètement analytiques) . . .

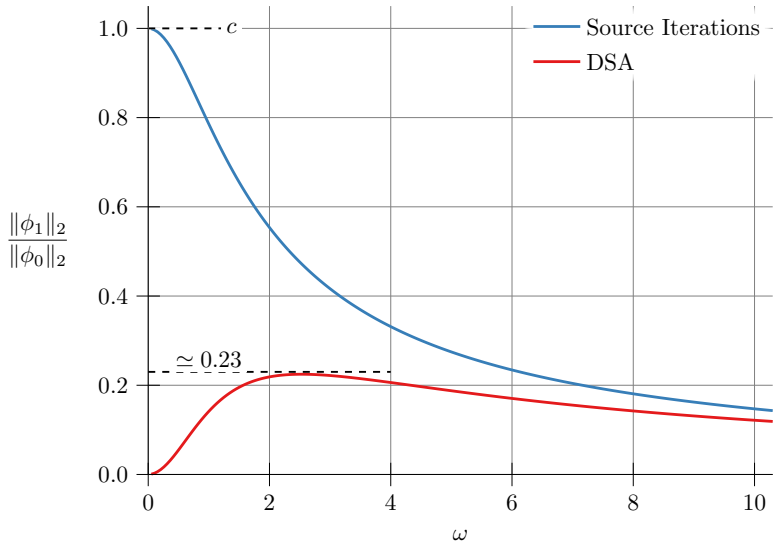
$$f(x) = \rho_d(\omega) \phi_0(x), \quad \rho_d(\omega) = \dots,$$

$$\begin{aligned}\phi_{\text{dsa}} &= \phi_{\text{si}} + f \\ &= (\rho_{\text{si}} + \rho_d) \phi_0 \\ &= \rho_{\text{dsa}} \phi_0,\end{aligned}$$

$$\rho_{\text{dsa}}(\omega) = \frac{\omega^2 \rho_{\text{si}}(\omega) + 3 \rho_{\text{si}}(\omega) - 3 c}{\omega^2 - 3 c + 3}.$$

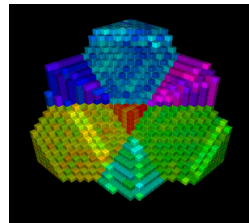
Vitesse de convergence

Source Iterations + Diffusion Synthetic Acceleration





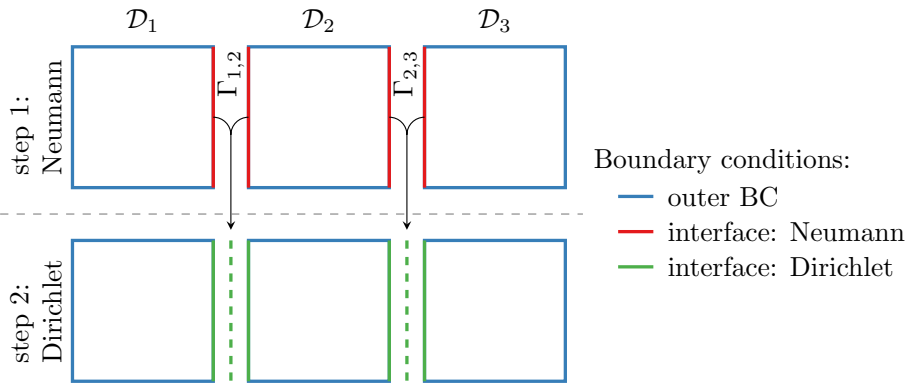
PDSA



- ▶ Comment construire un opérateur DSA s'appuyant sur la même distribution de données ?
- ▶ Avec un minimum de développements dans le solveur SP_N

Piecewise DSA

Principe



Piecewise DSA

Principe

- ① *Source Iteration* $\rightarrow \phi_{\text{si}}$

Piecewise DSA

Principe

① *Source Iteration* $\rightarrow \phi_{\text{si}}$

② problème de diffusion local dans chaque sous-domaine \mathcal{D}_i (Neumann) :

$$\begin{cases} \frac{-1}{3\Sigma} g''(x) + (1 - c)\Sigma g(x) = c\Sigma [\phi_{\text{si}}(x) - \phi_0(x)] & \forall x \in \mathcal{D}_i, \\ g'(0) = 0, \quad g'(L) = 0, \\ g'(x_i) = 0, \quad 1 \leq i \leq N - 1. \end{cases}$$

Piecewise DSA

Principe

① *Source Iteration* $\rightarrow \phi_{\text{si}}$

② problème de diffusion local dans chaque sous-domaine \mathcal{D}_i (Neumann) :

$$\begin{cases} \frac{-1}{3\Sigma} g''(x) + (1 - c)\Sigma g(x) = c\Sigma [\phi_{\text{si}}(x) - \phi_0(x)] & \forall x \in \mathcal{D}_i, \\ g'(0) = 0, \quad g'(L) = 0, \\ g'(x_i) = 0, \quad 1 \leq i \leq N-1. \end{cases}$$

③ problème de diffusion local dans chaque sous-domaine \mathcal{D}_i (Dirichlet) :

$$\begin{cases} \frac{-1}{3\Sigma} h''(x) + (1 - c)\Sigma h(x) = c\Sigma [\phi_{\text{si}}(x) - \phi_0(x)] & \forall x \in \mathcal{D}_i, \\ h'(0) = 0, \quad h'(L) = 0, \\ h(x_i) = \frac{1}{2} [g^-(x_i) + g^+(x_i)], \quad 1 \leq i \leq N-1. \end{cases}$$

Piecewise DSA

Principe

① *Source Iteration* $\rightarrow \phi_{\text{si}}$

② problème de diffusion local dans chaque sous-domaine \mathcal{D}_i (Neumann) :

$$\begin{cases} \frac{-1}{3\Sigma} g''(x) + (1 - c)\Sigma g(x) = c\Sigma [\phi_{\text{si}}(x) - \phi_0(x)] & \forall x \in \mathcal{D}_i, \\ g'(0) = 0, \quad g'(L) = 0, \\ g'(x_i) = 0, \quad 1 \leq i \leq N-1. \end{cases}$$

③ problème de diffusion local dans chaque sous-domaine \mathcal{D}_i (Dirichlet) :

$$\begin{cases} \frac{-1}{3\Sigma} h''(x) + (1 - c)\Sigma h(x) = c\Sigma [\phi_{\text{si}}(x) - \phi_0(x)] & \forall x \in \mathcal{D}_i, \\ h'(0) = 0, \quad h'(L) = 0, \\ h(x_i) = \frac{1}{2} [g^-(x_i) + g^+(x_i)], \quad 1 \leq i \leq N-1. \end{cases}$$

④ correction du flux : $\phi_{\text{pdsa}} = \phi_{\text{si}} + h$

PDSA

Idée de l'analyse : exemple de l'étape 1 (Neumann)

► Erreur $\delta = g - f$, restreinte au sous-domaine $\mathcal{D}_i = [x_i, x_{i+1}]$:

$$\begin{cases} \frac{-1}{3\Sigma} \delta''|_{\mathcal{D}_i}(x) + (1 - c)\Sigma \delta|_{\mathcal{D}_i}(x) = 0, \\ \delta'|_{\mathcal{D}_i}(x_i) = -f'(x_i), \\ \delta'|_{\mathcal{D}_i}(x_{i+1}) = -f'(x_{i+1}). \end{cases}$$

PDSA

Idée de l'analyse : exemple de l'étape 1 (Neumann)

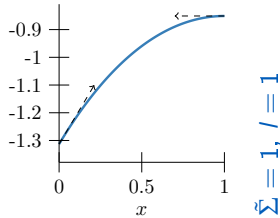
- Erreur $\delta = g - f$, restreinte au sous-domaine $\mathcal{D}_i = [x_i, x_{i+1}]$:

$$\begin{cases} \frac{-1}{3\Sigma} \delta''|_{\mathcal{D}_i}(x) + (1-c)\Sigma \delta|_{\mathcal{D}_i}(x) = 0, \\ \delta'|_{\mathcal{D}_i}(x_i) = -f'(x_i), \\ \delta'|_{\mathcal{D}_i}(x_{i+1}) = -f'(x_{i+1}). \end{cases}$$

- Superposition : $\delta|_{\mathcal{D}_i} = -f'(x_i) e_{nn}^l - f'(x_{i+1}) e_{nn}^r$

$$\begin{cases} \frac{d^2 e_{nn}^l}{dx^2}(x) - \tilde{\Sigma}^2 e_{nn}^l(x) = 0, \\ \frac{de_{nn}^l}{dx}(0) = 1, \quad \frac{de_{nn}^l}{dx}(l) = 0. \end{cases}$$

$$\tilde{\Sigma} = \sqrt{3(1-c)\Sigma}$$



PDSA

Après calculs . . .

▶ Majoration du rayon spectral :

$$\frac{\|\phi_{\text{pdsa}}\|_2}{\|\phi_0\|_2} \leq \underbrace{\rho_{\text{dsa}} + \frac{\|\varepsilon\|_2}{\|\phi_0\|_2}}_{\rho_{\text{pdsa}}^{\max}}$$

PDSA

Après calculs...

- ▶ Majoration du rayon spectral :

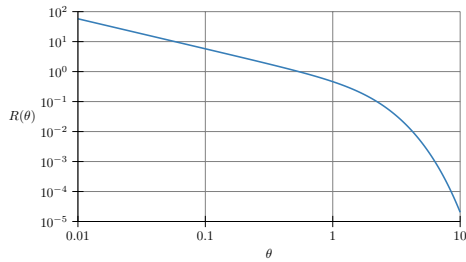
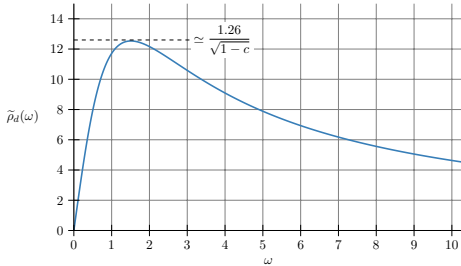
$$\frac{\|\phi_{\text{pdsa}}\|_2}{\|\phi_0\|_2} \leq \underbrace{\rho_{\text{dsa}} + \frac{\|\varepsilon\|_2}{\|\phi_0\|_2}}_{\rho_{\text{pdsa}}^{\max}}$$

- ▶ Majoration écart par rapport à DSA :

$$\frac{\|\varepsilon\|_2}{\|\phi_0\|_2} \leq \underbrace{\sqrt{\frac{10}{3(1-c)}} \rho_d \omega}_{\tilde{\rho}_d(\omega)} \underbrace{\frac{\sum |e_{nn}^I(\frac{L}{N})| \|e_{dd}^I\|_2}{\sqrt{L/N}}}_{R}$$

Vitesse de convergence

PDSA



► Composante R :

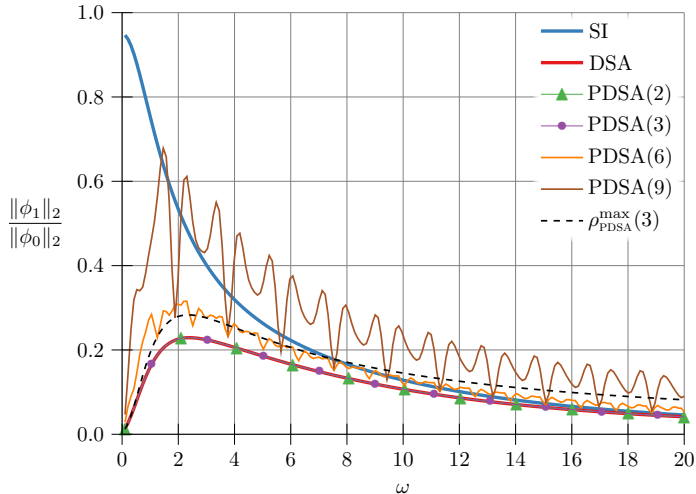
$$R(\theta) = \sqrt{\frac{2 e^{6\theta} - 8 \theta e^{4\theta} - 2 e^{2\theta}}{\theta e^{8\theta} - 4 \theta e^{6\theta} + 6 \theta e^{4\theta} - 4 \theta e^{2\theta} + \theta}}$$

$$\theta = \frac{\sum L}{N}.$$

PDSA

Expériences numériques 1D

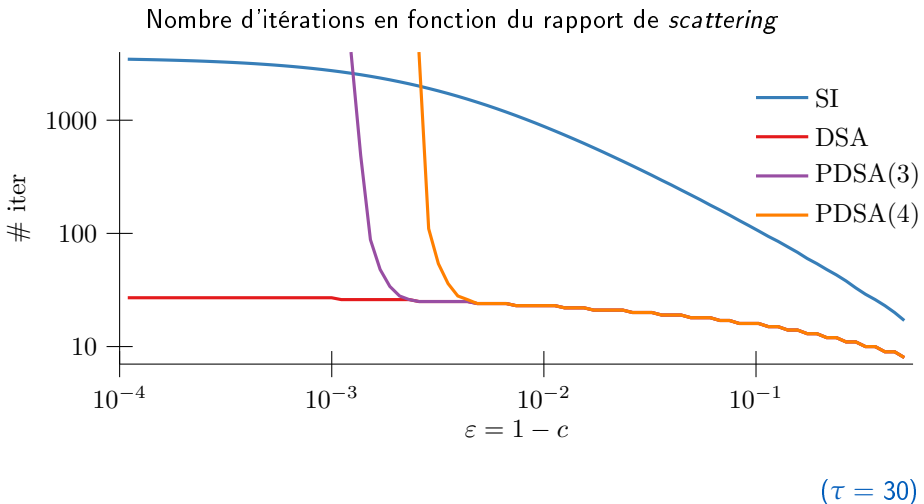
Amplification factor of various acceleration schemes

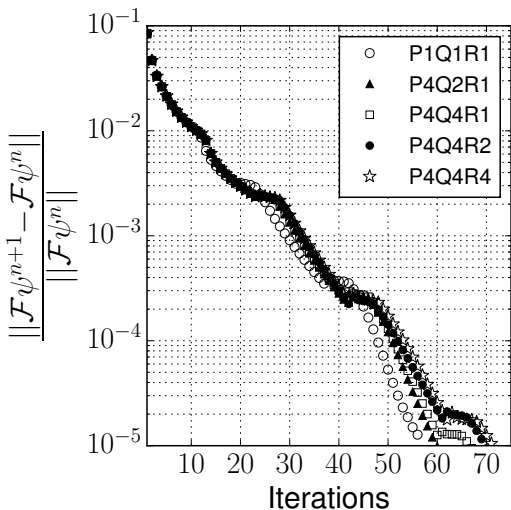


$\tau = 30, c = 0.95$

PDSA

Expériences numériques 1D





Discretisation

- 2 groupes
- S_{12}
- 2 × 2 mailles par cellule
- 756 mailles axiales
- Total : 2.5×10^{11} DDLs

Temps de calcul

Découpage	1,1,1	4,4,4
N_coeurs	24	1536
T (s)	916.4	31.1
speed-up	-	29

Comparaison à Denovo :

- 123 s. sur 20400 coeurs

Conclusions

☀ Implémentation “immédiate” :

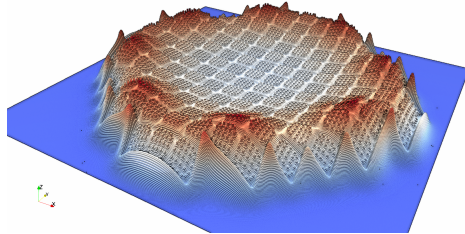
- ▶ conditions aux limites de Dirichlet non-homogènes
- ▶ une communication point-à-point supplémentaire

☁ Peu de perte d'efficacité par rapport à DSA...

- ▶ efficacité estimable a priori / en ligne
- ▶ meilleur en pratique qu'en théorie
- ▶ robuste (pas nécessaire de résoudre exactement les problèmes de diffusion)

🌧 ... sous certaines conditions

- ▶ géométrie suffisamment optiquement épaisse
- ▶ semble être le cas pour les calculs REP 3D cœur complet
- ▶ quid des calculs assemblage ?



Merci pour votre attention !
Questions ?

- [1] François Févotte. Piecewise Diffusion Synthetic Acceleration scheme for neutron transport simulations in optically thick systems. *Annals of Nuclear Energy*, 118 :71–80, 2018.
- [2] Salli Moustafa, François Févotte, Mathieu Faverge, Laurent Plagne, and Pierre Ramet. Efficient parallel solution of the 3D stationary Boltzmann transport equation for diffusive problems. Preprint.